

01;04;10  
 (c)1994 г.

## ИСПОЛЬЗОВАНИЕ МЕТОДА $(\eta, \epsilon)$ -ДИАГРАММ ДЛЯ ИЗУЧЕНИЯ НЕУСТОЙЧИВОСТИ БУРСИАНА

*В.И.Кузнецов, А.В.Соловьев, А.Я.Эндер*

Физико-технический институт им.А.Ф.Иоффе РАН,  
 194021, Санкт-Петербург, Россия

(Поступило в Редакцию 27 февраля 1994 г.)

Используется техника  $(\eta, \epsilon)$ -диаграмм для изучения вакуумного диода с моноэнергетическим потоком электронов. Состояния такого диода при нулевой разности потенциалов между электродами теоретически изучались Бурсианом и Павловым в 1923 г. [1]. Было обнаружено существование нескольких стационарных решений задачи.

Проведена полная классификация стационарных распределений потенциала в зависимости от внешнего напряжения и величины межэлектродного зазора. Получены аналитические выражения для всех типов распределений потенциала. Построены  $(\eta, \epsilon)$ -диаграммы и вольт-амперные характеристики. Найдены значения параметров, для которых возможны несколько распределений потенциала в одном внешнем напряжении.

### Введение

В [1] была решена задача о распределении потенциала при прохождении электронного пучка между двумя эквипотенциальными сетками. Один из чрезвычайно интересных результатов этой работы состоит в том, что при одних и тех же внешних параметрах можно найти несколько различных режимов прохождения электронного пучка — несколько самосогласованных распределений потенциала, удовлетворяющих одним граничным условиям.

В [1] задача формулировалась следующим образом. С плоского электрода, помещенного в начало координат (в дальнейшем будем называть его эмиттером), поступает одномерный поток электронов, представляющий собой пучок с энергией частиц, много большей их теплового разброса, и движется по направлению ко второму электроду (будем называть его коллектором), расположенному на расстоянии  $L$  параллельно эмиттеру. Потенциалы эмиттера и коллектора полагались одинаковыми и равными нулю. Для удобства представления результатов [1] перейдем к безразмерным величинам, используя принятые в

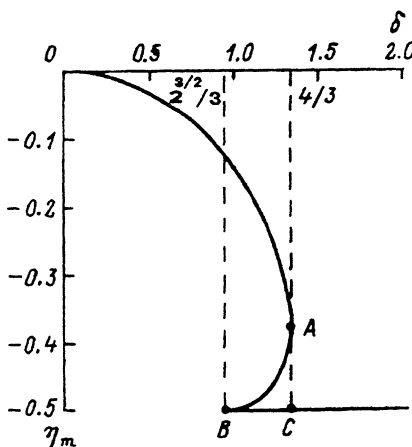


Рис. 1. Зависимость минимального значения на распределении потенциала  $\eta_m$  от величины межэлектродного зазора  $\delta$  при нулевой разности потенциалов между электродами.

настоящее время при изучении пучков в плазме характерные энергию и длину,

$$W = mv_0^2, \quad \lambda_D = \left( \frac{W}{4\pi e^2 n_0} \right)^{1/2}, \quad (1)$$

где  $m$ ,  $e$ ,  $v_0$ ,  $n_0$  — масса и заряд электрона, скорость и концентрация электронов у эмиттера соответственно.

Тогда безразмерные потенциал, координата и расстояние между электродами будут равны соответственно

$$\eta = \epsilon\Phi/W, \quad x = z/\lambda_D, \quad \delta = L/\lambda_D. \quad (2)$$

Отметим, что в [1] характерная энергия выбиралась равной  $W/2$ , а характерная длина —  $\lambda_D/2^{3/2}$ .

Режим прохождения электронного пучка характеризуется единственным параметром  $\delta$  (в [1] использовался безразмерный параметр, численно равный  $2\delta^2$ ).

Ясно, что, для того чтобы удовлетворить нулевым граничным условиям на электродах, потенциал должен иметь минимум  $\eta_m$  в одной из внутренних точек промежутка  $(0, L)$ . Зависимость  $\eta_m$  от параметра  $\delta$  (рис. 1) дает возможность определить число решений: при  $\delta$ , лежащих в интервалах  $(0, 2^{3/2}/3)$  и  $(4/3, \infty)$ , реализуется только одно распределение потенциала, в то время как при  $\delta \in 2^{3/2}/3, 4/3$  могут существовать сразу три различных распределения потенциала.

Особо отметим решения с  $\eta_m = -1/2$ , где в точке минимума потенциала потенциальная энергия электронов совпадает с их начальной кинетической энергией  $mv_0^2/2$ , т.е. скорость электронов обращается в нуль. Авторы [1] строят такие решения, вводя модель частичного отражения. Дело в том, что при расчете распределений потенциала с  $\eta_m = -1/2$  необходимо учитывать, что электроны пучка имеют разброс по скоростям (хотя бы и очень малый). Тогда при бесконечно малом изменении потенциала  $\eta_m$  вблизи значения  $-1/2$  отношение потоков прошедших и отраженных электронов будет изменяться и, варьируя это отношение, можно получить все решения с частичным отражением.

При увеличении параметра  $\delta$ , например, путем увеличения плотности тока пучка в момент достижения им значения  $4/3$  величина  $\eta_m$  изменяется скачком: режим без отражения электронного пучка (рис. 1, точка A) сменяется режимом с его частичным отражением (точка C). Этот скачок происходит вследствие развития неустойчивости, получившей название неустойчивости Бурсиана. В [1] отмечалось, что решения на участке AB (рис. 1) не являются устойчивыми.

Результаты [1] обсуждались в работах [2,3]. В [2], кроме того, проведен анализ устойчивости решений с полным прохождением пучка. Рассмотрение в [2], носит качественный характер, так как делается предположение о постоянстве заряда пучка во всем межэлектродном зазоре.

В настоящей работе с помощью техники  $(\eta, \varepsilon)$ -диаграмм исследуются состояния вакуумного диода с моноэнергетическим пучком электронов, причем в отличие от [1] разность потенциалов  $V$  между электродами не полагается равной нулю, а является варьируемым параметром. Ранее  $(\eta, \varepsilon)$ -диаграммы применялись для изучения состояний плазмы в модели Пирса и в кнудсеновском диоде с поверхностной ионизацией (КДПИ) [4–7]. Задача данной работы — изучить, при каких  $\delta$  и  $V$  возникают неединственные решения, и найти значения параметров, при которых развивается неустойчивость Бурсиана.

## 1. Основные уравнения. Решение для полуупространства

Будем искать стационарные самосогласованные распределения потенциала, которые могут возникнуть в диоде при распространении одномерного электронного потока. Для предварительного анализа в этом разделе будем считать, что коллектор располагается на бесконечном расстоянии от эмиттера, и рассматривать задачу для полуупространства.

Используя (2), введем безразмерные время, скорость, концентрацию и напряженность электрического поля:  $\tau = tv_0/\lambda_D$ ,  $u = v/v_0 = dx/d\tau$ ,  $\rho = n/n_0$ ,  $\varepsilon = eE\lambda_D/W = -\partial\eta/\partial x$ . Обозначим через  $\varepsilon_0$  напряженность электрического поля на эмиттере. В зависимости от значения этого параметра могут реализовываться распределения потенциала различного типа. Очевидно, что при больших отрицательных  $\varepsilon_0$  потенциал монотонно возрастает с ростом  $x$ . При больших положительных  $\varepsilon_0$  потенциал монотонно убывает до  $-\infty$ , при этом электроны долетают только до точки с потенциалом  $-1/2$ , т.е. происходит полное отражение. В определенном интервале  $\varepsilon_0$  реализуются распределения потенциала, при которых происходит частичное отражение электронного потока.

Стационарные состояния диода описываются системой, состоящей из трех уравнений: уравнения Пуассона, условия постоянства потока и уравнения движения Ньютона. В одномерном случае с учетом возможного отражения электронов эти уравнения имеют вид:

$$\frac{\partial \varepsilon(x)}{\partial x} = -\rho(x), \quad (3a)$$

$$\rho(x)u(x) = \nu(x), \quad (36)$$

$$\frac{d^2x}{d\tau^2} = -\varepsilon(x). \quad (3в)$$

Безразмерный поток  $\nu(x)$  определяется следующим образом:

$$\nu = (1+r) \cdot \Theta(x_1 - x) + (1-r) \cdot \Theta(x - x_1), \quad (4)$$

где  $r$  — коэффициент отражения, представляющий собой долю электронного потока, возвращающегося на эмиттер ( $0 \leq r \leq 1$ );  $x_1$  — координата точки отражения;  $\Theta$  — функция скачка Хевисайда.

Для режимов без отражения поток постоянен,  $\nu \equiv 1$ . Связь между потенциалом  $\eta$  и скоростью  $u$  находится из закона сохранения энергии

$$\eta = (u^2 - 1)/2. \quad (5)$$

Если речь идет о построении стационарного решения, то уравнение (5) эквивалентно (3в), поскольку оно дает необходимую для замыкания системы уравнений (3) связь между скоростью и потенциалом. В отличие от нестационарного случая здесь нет необходимости вычислять зависимость координаты от времени для каждого электрона, т.е. решать уравнение (3в). Однако при анализе решений часто оказывается удобным использовать дополнительный параметр  $\tau$  — время пролета электрона от эмиттера до рассматриваемой точки. Такой подход использовался в [8] для исследования модели Пирса. Уравнение для определения траектории электрона, движущегося по направлению к коллектору, получается после дифференцирования (3) по  $\tau$  с учетом того, что в стационарном поле  $d\varepsilon/d\tau = u \cdot \partial\varepsilon/\partial x$ ,

$$\frac{d^3x}{d\tau^3} = \nu(x). \quad (6)$$

При заданном  $\varepsilon_0$  имеем следующие начальные условия для (6):

$$x|_{\tau=0} = 0, \quad \left(\frac{dx}{d\tau}\right)_{\tau=0} = 1, \quad \left(\frac{d^2x}{d\tau^2}\right)_{\tau=0} = -\varepsilon_0. \quad (7)$$

Остановимся на наиболее общем случае, когда имеет место частичное отражение электронов. Пусть  $\tau_1$  — время пролета электрона до точки отражения. При  $\tau < \tau_1$  величина  $\nu$  постоянна и из (6), (7) с использованием (3в) легко получаем

$$x = \frac{1+r}{6}\tau^3 - \frac{\varepsilon_0}{2}\tau^2 + \tau, \quad (8)$$

$$u = \frac{1+r}{2}\tau^2 - \varepsilon_0\tau + 1, \quad (9)$$

$$\varepsilon = \varepsilon_0 - (1+r)\tau. \quad (10)$$

В точке отражения скорость равна нулю, а потенциал равен  $-1/2$ . При частичном отражении этот потенциал должен быть минимальным, поскольку существование точки с меньшим потенциалом привело бы к

полному отражению. Следовательно, напряженность электрического поля в точке отражения должна обращаться в нуль. Таким образом, имеем

$$u(\tau_1) = 0, \quad \varepsilon(\tau_1) = 0. \quad (11), (12)$$

Из (9), (10) и условий (11), (12) находим  $\tau_1$  и  $\varepsilon_0$

$$\tau_1 = \left( \frac{2}{1+r} \right)^{1/2}, \quad (13)$$

$$\varepsilon_0(r) = [2(1+r)]^{1/2}. \quad (14)$$

Подставляя (13), (14) в (8), находим координату точки отражения

$$x_1(r) = \frac{1}{3} \left( \frac{2}{1+r} \right)^{1/2} \quad (15)$$

Используя условия (11), (12), для тех электронов, которые смогли преодолеть потенциальный барьер, можно получить решение (6) правее точки отражения ( $\tau > \tau_1$ )

$$x = x_1 + \frac{(\tau - \tau_1)^3}{6}(1-r). \quad (16)$$

Для  $u$  и  $\varepsilon$  тогда имеем

$$u = \frac{(\tau - \tau_1)^2}{2}(1-r), \quad (17)$$

$$\varepsilon = (\tau - \tau_1)(1-r). \quad (18)$$

Исключая  $\tau$  из уравнений (16), (17) и используя (5), для потенциала правее точки отражения ( $x \geq x_1$ ) получаем

$$\eta = 2 \left( \frac{3}{4} \right)^{4/3} \left[ x - \frac{1}{3} \left( \frac{2}{2-j} \right)^{1/2} \right]^{4/3} j^{2/3} - \frac{1}{2}. \quad (19)$$

Здесь  $j = 1-r$  — безразмерная плотность тока, т.е. доля электронного потока, прошедшего за точку отражения. Учитывая (14), находим связь между  $j$  и  $\varepsilon_0$

$$j = 2 - \varepsilon_0^2/2. \quad (20)$$

Как видно из (14), режиму частичного отражения соответствует интервал  $2^{1/2} \leq \varepsilon_0 \leq 2$  (распределения потенциала 1–5 на рис. 2,б).

При  $\varepsilon_0 \in (-\infty, 2^{1/2})$  реализуются решения без отражения. Действительно, полагая в (9)  $r = 0$ , убеждаемся, что для таких  $\varepsilon_0$  скорость электрона неотрицательна при всех  $\tau > 0$ . Формулы (8)–(10) при  $r = 0$

б

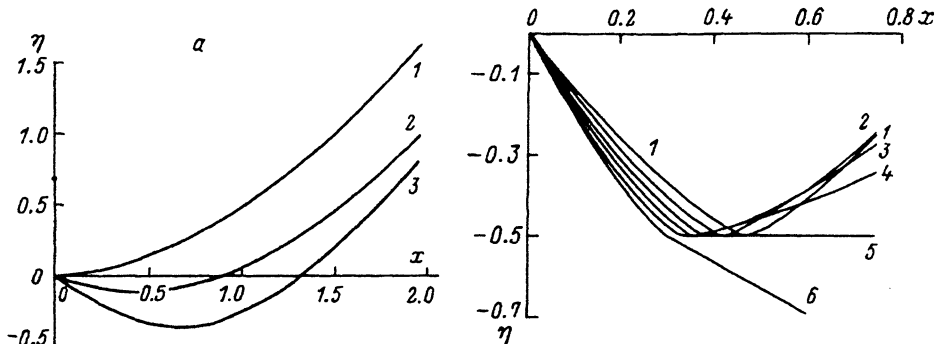


Рис. 2. Примеры распределений потенциала в режиме без отражения электронного потока (а) и с отражением (б).

а: 1 —  $\varepsilon_0 = 0$ , 2 — 0.5, 3 — 1.0; б: 1 —  $r = 0$ , 2 — 0.25, 3 — 0.5, 4 — 0.75, 5 — 1.0 (частичное отражение), 6 —  $\varepsilon_0 = 2.1$  (полное отражение).

описывают как монотонные ( $\varepsilon_0 \leq 0$ ) (рис. 2, а, кривая 1), так и немонотонные ( $0 < \varepsilon_0 \leq 2^{1/2}$ ) распределения потенциала без отражения электронов (рис. 2, а, кривые 2 и 3).

При  $\varepsilon_0 \geq 2$  происходит полное отражение электронного потока (распределение потенциала 6 на рис. 2, а). В этом случае потенциал в точке отражения не является минимальным и выполнения условия (12) требовать не надо. Полагая в (8)–(10)  $r = 1$  и используя (11), находим  $\tau_1$ ,  $x_1$  и напряженность электрического поля в точке отражения —  $\varepsilon_1$

$$\tau_1 = \frac{\varepsilon_0}{2} - \left[ \left( \frac{\varepsilon_0}{2} \right)^2 - 1 \right]^{1/2} \quad (21)$$

$$x_1 = \frac{\varepsilon_0}{2} - \frac{2}{3} \left\{ \left( \frac{\varepsilon_0}{2} \right)^3 - \left[ \left( \frac{\varepsilon_0}{2} \right)^2 - 1 \right]^{3/2} \right\}, \quad (22)$$

$$\varepsilon_1 = (\varepsilon_0^2 - 4)^{1/2} \quad (23)$$

В данном случае концентрация частиц правее точки отражения равна нулю. Поэтому при  $x \geq x_1$  напряженность электрического поля остается постоянной и потенциал  $\eta$  равен

$$\eta(x) = -\frac{1}{2} - \varepsilon_1(x - x_1). \quad (24)$$

Рассмотрим, в каких пределах изменяется координата точки отражения  $x_1$ . Введем следующие обозначения:  $\delta_1 = 1/3$ ,  $\delta_2 = 2^{1/2}/3$ . Используя формулы (22) и (15), можно показать, что при полном отражении  $x_1 \leq \delta_1$ , а в режиме частичного отражения  $\delta_1 < x_1(r) < \delta_2$ . Отметим, что во всех случаях  $x_1$  убывает с ростом  $\varepsilon_0$ .

## 2. Построение $(\eta, \varepsilon)$ -диаграмм

Пусть теперь на расстоянии  $\delta$  от эмиттера расположен второй электрод — коллектор. Для изучения состояний такого диода удобно использовать  $(\eta, \varepsilon)$ -диаграмму. В общем случае в плоском плазменном диоде при заданном распределении ионов по зазору каждому значению  $\varepsilon_0$  отвечает определенное распределение потенциала. На этом распределении можно найти потенциал на расстоянии  $\delta$  от эмиттера  $\eta_\delta$ . Зависимость  $\eta_\delta$  от  $\varepsilon_0$  называется  $(\eta, \varepsilon)$ -диаграммой.

В [5, 6, 9–12]  $(\eta, \varepsilon)$ -диаграмма использовалась для изучения модели Пирса в КДПИ. В модели Пирса пучок электронов распространяется через фон однородно распределенных ионов. В КДПИ ионы и электроны поступают с поверхностей электродов с полумаксвелловскими функциями распределения по скоростям и движутся в межэлектродном промежутке без столкновений. КДПИ является хорошей моделью термоэмиссионного преобразователя энергии в кнудсеновском режиме [13] и Q-машины [14]. В [5] с помощью техники  $(\eta, \varepsilon)$ -диаграмм исследовалась модель Пирса, а в [6] изучались состояния плазмы в КДПИ на ионном фоне, соответствующем полностью самосогласованному стационарному решению задачи. В [9–12] эта же техника применялась в КДПИ для исследования решений на ионном фоне, который изменяется в ходе нестационарного ионного процесса. С помощью  $(\eta, \varepsilon)$ -диаграммы находились все электронные состояния и исследовалась их устойчивость относительно малых электронных возмущений. Если состояние оказывается неустойчивым, то в диоде развивается апериодическая неустойчивость типа неустойчивости Пирса и происходит переход в одно из устойчивых состояний.

Применим технику  $(\eta, \varepsilon)$ -диаграмм для изучения состояний вакуумного диода с пучком электронов. Отсутствие ионного фона не вносит существенных изменений в эту технику. В случае  $\delta > \delta_2$  для построения  $(\eta, \varepsilon)$ -диаграммы можно воспользоваться распределениями потенциала, полученными в предыдущем разделе. Для этого на рис. 2 проведем прямую  $x = \delta$  и будем находить значения  $\eta$  в точках пересечения этой прямой с распределениями потенциала. Учитывая, что каждому распределению потенциала соответствует определенное значение  $\varepsilon_0$ , получаем  $(\eta, \varepsilon)$ -диаграмму для зазора  $\delta$ .

Зависимость  $\eta_\delta$  от  $\varepsilon_0$  можно построить аналитически. Для режимов с частичным и полным отражением она находится по формулам (19), (20) и (24) при  $x = \delta$ . Для режима без отражения явная зависимость  $\eta_\delta$  от  $\varepsilon_0$  приведена в Приложении. Отметим, что самосогласованные распределения потенциала при прохождении ионного пучка через плоский слой в отсутствие электронов изучались в [15]. Эта задача сводится к рассматриваемой нами задаче об электронном пучке, если изменить знаки у потенциала и напряженности. В [15] изучался режим без отражения с монотонными распределениями потенциала, а аналитические зависимости  $\eta(x)$  были получены только для диапазона  $-2^{3/2}/3^{1/2} \leq \varepsilon_0 \leq 0$ .

Имея связь  $\eta_\delta(\varepsilon_0)$ , т.е.  $(\eta, \varepsilon)$ -диаграмму и учитывая то, что ток  $j$  однозначно связан с  $\varepsilon_0$ , легко построить и вольт-амперную характеристику (ВАХ) диода — зависимость  $j(\eta_\delta)$ . На участке с частичным

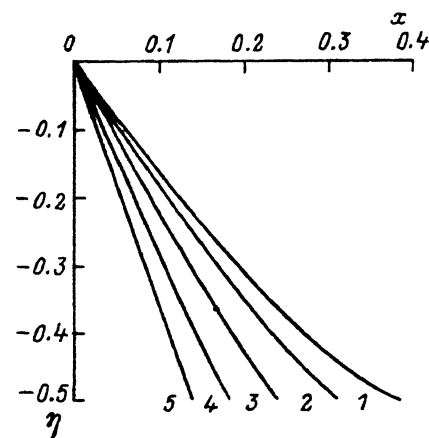


Рис. 3. Примеры распределений потенциала в режиме с частичным отражением электронов 2-го рода при  $r = 0.5$ .

1 —  $\varepsilon_0 = \varepsilon_0^1 = 1.732$ , 2 —  $\varepsilon_0^1 + 0.2$ , 3 —  $\varepsilon_0^1 + 0.4$ ,  
4 —  $\varepsilon_0^1 + 0.8$ , 5 —  $\varepsilon_0^1 + 1.0$ .

отражением электронов величина  $j$  изменяется в интервале 0.1 в соответствии с формулой (20) в случае без отражения  $j \equiv 1$ , а при полном отражении ток равен нулю.

В случае  $\delta \leq \delta_2$  помимо найденных в разделе 1 решений могут существовать распределения потенциала с частичным отражением электронов другого типа, когда точка отражения находится непосредственно на коллекторе, т.е.  $\eta_\delta = -1/2$ . Такие решения будем называть распределениями потенциала с частичным отражением 2-го типа в отличие от решений с частичным отражением 1-го типа, у которых точка отражения лежит внутри зазора.

Обозначим связь между  $\varepsilon_0$  и  $r$  для решений 1-го типа (формула (14)) через  $\varepsilon_0^1(r)$ . Зафиксируем  $r < 1$  и будем строить  $\eta(x)$  по параметрическим формулам (5), (8), (9). Если  $\varepsilon_0 > \varepsilon_0^1(r)$ , то с ростом  $x$  величина потенциала убывает и достигает значения  $-1/2$  в точке  $x^* < \delta_2$ , причем  $\varepsilon(x^*) > 0$ . Продолжить решения за точку  $x^*$  нельзя, так как при этом  $\eta(x)$  становится более отрицательным, что соответствует полному отражению и противоречит выбору  $r < 1$ . Если поместить коллектор в точке  $x^*$ , т.е. положить  $\delta = x^*$ , то получится решение с частичным отражением 2-го типа. На рис. 3 в качестве примера представлены распределения потенциала 2-го типа при  $r = 0.5$  для ряда значений  $\varepsilon_0 \geq \varepsilon_0^1(r)$ . По пересечению этих кривых с прямой  $\eta = -1/2$  можно найти зависимость  $\delta$  от  $\varepsilon_0$ . Таким графическим методом можно построить  $\delta(\varepsilon_0)$  и для других  $r$  и найти функцию  $\varepsilon_0(r)$  при фиксированном  $\delta$ . Участок  $(\eta, \varepsilon)$ -диаграммы, соответствующий этим решениям, будет отрезком прямой  $\eta = -1/2$ .

Зависимость  $\varepsilon_0(r)$  для решений 2-го типа можно найти и аналитически. Учитывая, что в точке отражения, которая в данном случае находится на коллекторе, скорость электрона обращается в нуль, т.е.  $u(\delta) = 0$ , из (9) находим выражение для  $\varepsilon_0$  через  $\tau_\delta$

$$\varepsilon_0 = \frac{1+r}{2} \tau_\delta + \frac{1}{\tau_\delta}. \quad (25)$$

Величина  $\tau_\delta$  находится из кубического уравнения, которое получается подстановкой (25) в (8). При его решении необходимо выбирать

положительный корень, для которого, кроме того, напряженность электрического поля на коллекторе неотрицательна. Такой корень оказывается единственным

$$\tau_\delta = 2 \left( \frac{2}{1+r} \right)^{1/2} \cos \left( \frac{\varphi + \pi}{3} \right), \quad \text{где} \quad \varphi = \arccos \left[ 3\delta \left( \frac{1+r}{2} \right)^{1/2} \right]. \quad (26)$$

Формулы (25), (26) имеют смысл только для  $\delta \leq \delta_2$ . При  $\delta \leq \delta_1$  решения с частичным отражением второго типа существуют для всех  $r$ , а при  $\delta_1 < \delta \leq \delta_2$  — только при  $r \in (0, r^C)$ , где

$$r^C = 2(\delta_1/\delta)^2 - 1. \quad (27)$$

Отметим, что при фиксированном  $\delta$  величина  $\varepsilon_0$  растет с ростом  $r$ .

### 3. Анализ $(\eta, \varepsilon)$ -диаграмм и ВАХ

Существуют три значения  $\delta$  ( $\delta_1$ ,  $\delta_2$  и  $2\delta_2$ ), при переходе через которые изменяется вид  $(\eta, \varepsilon)$ -диаграмм и ВАХ. На рис. 4 представлены характерные  $(\eta, \varepsilon)$ -диаграммы, а на рис. 5 — соответствующие ВАХ. Точками  $A-E$  на кривых отмечены границы областей, различающихся либо режимом прохождения электронов, либо характером устойчивости диода. При  $\varepsilon_0 < \varepsilon_0^D$  (точка  $D$  на рис. 4 и 5) реализуется режим без отражения электронов и  $j = 1$ . При этом, когда  $\varepsilon_0 \leq 0$ , распределения потенциала монотонны и  $\eta_\delta$  убывает с ростом  $\varepsilon_0$ . При  $0 < \varepsilon_0 < \varepsilon_0^D$  распределения потенциала, как правило, немонотонны. При  $\varepsilon_0^D \leq \varepsilon_0 < \varepsilon_0^A$  (участок  $DA$  на рис. 4 и 5) реализуется режим с частичным отражением и ток убывает от 1 до 0 с ростом  $\varepsilon_0$ . Области  $\varepsilon_0 \geq \varepsilon_0^A$  соответствует режим с полным отражением, в котором  $j = 0$ ; здесь  $\eta_\delta$  всегда убывает с ростом  $\varepsilon_0$ .

Рассмотрим подробнее  $(\eta, \varepsilon)$ -диаграммы для разных величин зазора. При  $\delta \geq \delta_2$  (рис. 4, a, б) величина  $\varepsilon_0^D$  не зависит от  $\delta$  и равна  $2^{1/2}$ . В этом случае значение потенциала  $\eta_\delta^D$ , соответствующее  $\varepsilon_0^D$ , находится из (19) при  $j = 1$

$$\eta_\delta^D = 2 \left[ \frac{3}{4} (\delta - \delta_2) \right]^{4/3} - \frac{1}{2}. \quad (28)$$

В режиме без отражения электронов зависимость  $\eta_\delta$  от  $\varepsilon_0$  немонотонна и принимает минимальное значение в точке  $E$ ; в этом режиме участок  $(\eta, \varepsilon)$ -диаграммы описывается формулами (П.4)–(П.6), (5) и (9). Для построения участка диаграммы  $DA$ , отвечающего частично му отражению, используются формулы (19) и (20). Переход к режиму с полным отражением происходит при  $\varepsilon_0 = \varepsilon_0^A = 2$ , а диаграмма на этом участке строится по формулам (22)–(24).

При  $\delta < \delta_2$  на  $(\eta, \varepsilon)$ -диаграмме внутри области  $DA$  появляется участок, отвечающий режиму с частичным отражением 2-го типа (рис. 4, в, г). Для  $\delta_1 \leq \delta < \delta_2$  этот режим реализуется при  $\varepsilon_0^D < \varepsilon_0 < \varepsilon_0^C$

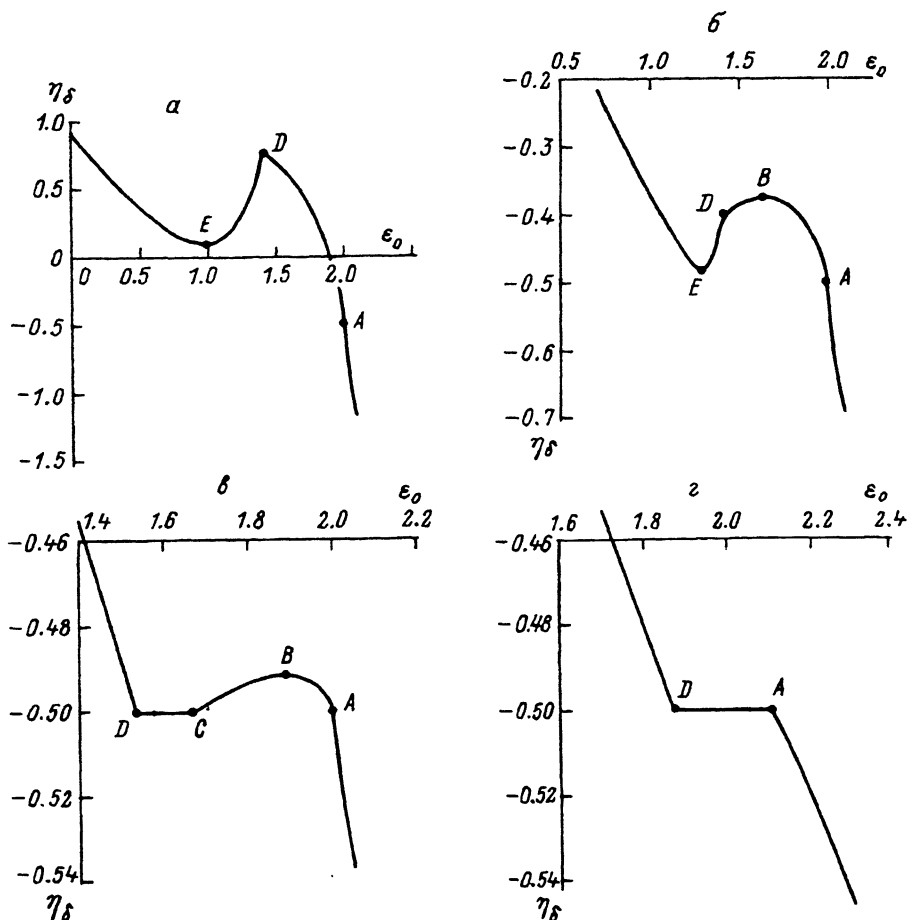


Рис. 4. Примеры  $(\eta, \varepsilon)$ -диаграмм для разных величин зазора,  $a — \delta = 3 \cdot \delta_2$ ,  $b — 1.3 \cdot \delta_2$ ,  $c — 1.2 \cdot \delta_1$ ,  $d — 0.9 \cdot \delta_1$ .

(отрезок прямой с  $\eta_\delta = -1/2$  на рис. 4,в). Значение  $\varepsilon_0^D$  находится из формул (25), (26) при  $r = 0$ , а  $\varepsilon_0^C$  — из формул (27) и (14)

$$\varepsilon_0^C = 2 \cdot \delta_1 / \delta. \quad (29)$$

С уменьшением  $\delta$  участок  $CA$ , отвечающий решениям с частичным отражением первого типа, сокращается и при  $\delta = \delta_1$  исчезает. При  $\delta < \delta_1$  весь участок  $DA$  (рис. 4,г) соответствует решениям второго типа, а  $\varepsilon_0^A$  находится из (25) и (26) при  $r = 1$ .

Описанная выше классификация различных режимов диода наглядно представлена на рис. 6, где на плоскости  $\varepsilon_0, \delta$  изображены границы областей с решениями различного типа. Здесь вертикальные пунктирные линии соответствуют примерам из рис. 4 и 5 ( $\delta = 3 \cdot \delta_2, 1.3 \cdot \delta_2, 1.2 \cdot \delta_1$  и  $0.9 \cdot \delta_1$ ). Решения с частичным отражением на рис. 6 лежат в полосе, ограниченной сверху линиями 1 и 3, а снизу — линиями 2 и 6. Ниже этой полосы реализуются состояния без отражения, выше — с полным

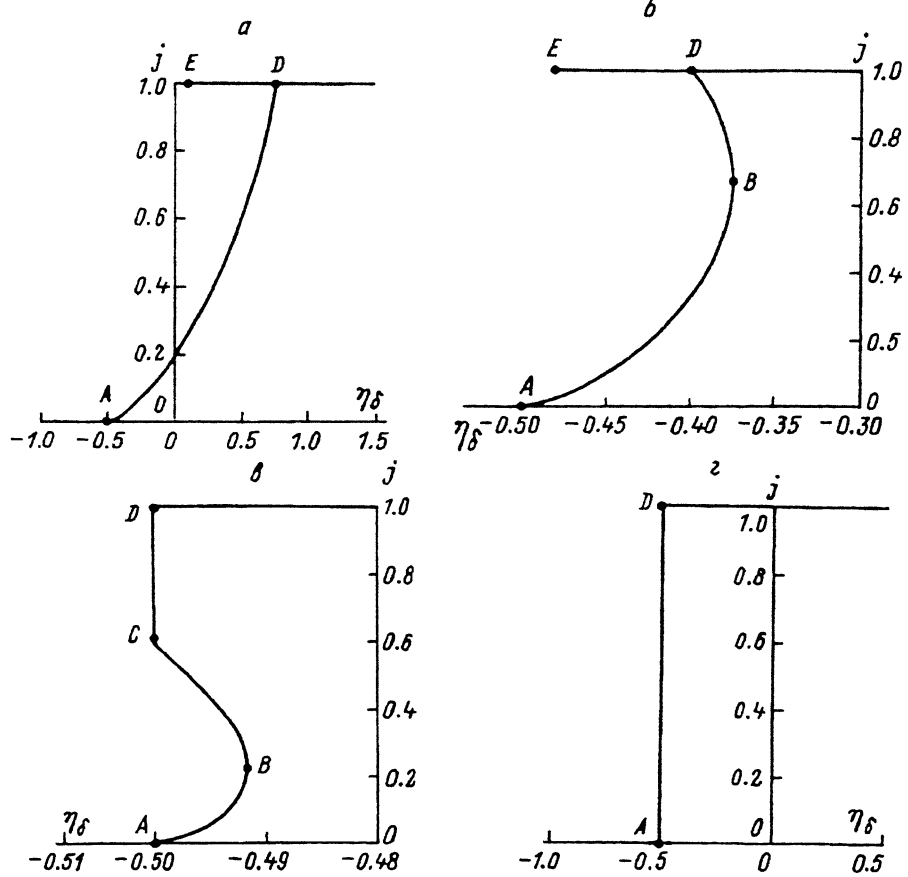


Рис. 5. Примеры ВАХ диода для разных величин зазора (значения  $\delta$  те же, что и на рис. 4).

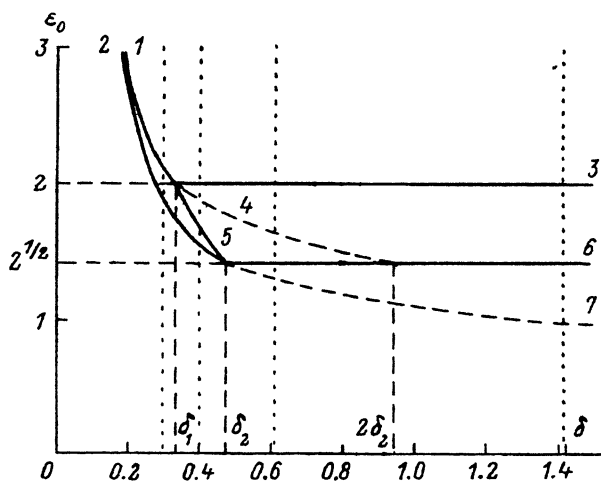


Рис. 6. Области существования решений различного типа на плоскости  $\epsilon_0$ ,  $\delta$ .

отражением. Внутри этой полосы правее линии 5 лежат решения с частичным отражением 1-го, а левее — 2-го типа.

Приведем сводку формул, описывающих границы областей, показанных на рис. 6 сплошными линиями: линия 1 описывается формулами (25), (26) при  $r = 1$ ,  $0 \leq \delta \leq \delta_1$ ; линия 2 — (25), (26) при  $r = 0$ ,  $0 \leq \delta \leq \delta_2$ ; линия 3 —  $\varepsilon_0 = 2$ ,  $\delta_1 \leq \delta < \infty$ ; линия 5 — (29),  $\delta_1 \leq \delta \leq \delta_2$ ; линия 6 —  $\varepsilon_0 = 2^{1/2}$ ,  $\delta_2 \leq \delta < \infty$ .

#### 4. Исследование устойчивости

Используя  $(\eta, \varepsilon)$ -диаграмму, можно исследовать диод на устойчивость [5–7]: устойчивому состоянию соответствует  $d\eta_\delta/d\varepsilon_0 < 0$ , в неустойчивом состоянии  $d\eta_\delta/d\varepsilon_0 > 0$ .

а) В режиме без отражения ( $r = 0$ ) производная  $d\eta_\delta/d\varepsilon_0$  находится с использованием формул (5), (8) и (9)

$$\frac{d\eta_\delta}{d\varepsilon_0} = \frac{d\eta_\delta}{du_\delta} \frac{du_\delta}{d\tau_\delta} \frac{d\tau_\delta}{d\varepsilon_0} = \frac{\tau_\delta^3}{6} - \delta. \quad (30)$$

На границе устойчивости (точка  $E$  на рис. 4, а, б; 5, а, б) время проплата электрона через зазор  $\tau_\delta^E$  равно  $(6\delta)^{1/3}$ , а  $\varepsilon_0^E$  и  $\eta_\delta^E$  находятся из (8), (5) и (9)

$$\varepsilon_0^E = \left( \frac{4}{3\delta} \right)^{1/3}, \quad (31)$$

$$\eta_\delta^E = \frac{1}{2} \left\{ \left[ \left( \frac{\delta}{\delta_2} \right)^{2/3} - 1 \right]^2 - 1 \right\}. \quad (32)$$

Решения устойчивы для  $\varepsilon \in (-\infty, \varepsilon_0^E)$  и неустойчивы для  $\varepsilon_0 \in (\varepsilon_0^E, 2^{1/2})$  (участок  $ED$  на рис. 4, а, б). На рис. 6 граница устойчивости в режиме без отражения (31) показана штриховой линией 7.

Формулы (31), (32) имеют смысл только при  $\delta \geq \delta_2$ . При  $\delta < \delta_2$  участок  $(\eta, \varepsilon)$ -диаграммы для решения без отражения электронов  $\varepsilon_0 \in (-\infty, \varepsilon_0^D)$  монотонен (рис. 4, в, г) и все такие состояния устойчивы (точка  $E$  на рис. 4, в, г отсутствует).

б) Для режима с частичным отражением 1-го типа параметры границы устойчивости  $\eta_\delta^B$ ,  $\varepsilon_0^B$  и  $j_B$  (точка  $B$  на рис. 4, б, в; 5, б, в) находятся из условия  $d\eta_\delta/d\varepsilon_0 = 0$  с использованием формул (19), (20)

$$\eta_\delta^B = \frac{1}{2} \left\{ \left[ (3\delta)^{2/3} - 1 \right]^2 - 1 \right\}, \quad (33)$$

$$\varepsilon_0^B = 2 \cdot (3\delta)^{-1/3}, \quad (34)$$

$$j_B = 2 \cdot [1 - (3\delta)^{-2/3}]. \quad (35)$$

Состояния, лежащие правее точки  $B$ , устойчивы (участок  $BA$  на рис. 4, б и в), а левее нее — неустойчивы (участок  $DB$  на рис. 4, б и

*СВ* на рис. 4,в). На рис. 6 граница устойчивости в режиме с частичным отражением 1-го типа, рассчитанная по (34), показана штриховой линией 4. Выше этой линии состояния диода устойчивы.

Отметим, что формулы (33)–(35) имеют смысл только при  $\delta \in [\delta_1, 2\delta_2]$ . При  $\delta > 2\delta_2$  участок  $(\eta, \varepsilon)$ -диаграммы, соответствующий решениям с частичным отражением (участок *DA* на рис. 4,а), монотонен и все такие состояния устойчивы. При  $\delta < \delta_1$  решения с частичным отражением 1-го типа отсутствуют. При  $\delta = \delta_1$  точка *B* совпадает с точкой *A*, а при  $\delta = 2\delta_2$  — с точкой *D*.

в) В режиме с частичным отражением 2-го типа  $d\eta_\delta/d\varepsilon_0 \equiv 0$ . В этом случае для определения характера устойчивости состояний требуется более детальный учет разброса по скоростям у электронов.

г) В режиме с полным отражением производная  $d\eta_\delta/d\varepsilon_0$ , определяемая с использованием формул (22)–(24), всегда отрицательна и все такие состояния устойчивы.

## 5. Обсуждение результатов. Бинарные состояния

При рассмотрении  $(\eta, \varepsilon)$ -диаграмм (рис. 4) обращает на себя внимание то, что зависимость  $\eta_\delta$  от  $\varepsilon_0$ , как правило, является немонотонной. Эта немонотонность приводит к тому, что для любого  $\delta > \delta_1$  существует интервал внешних напряжений  $(\eta_\delta^{\min}, \eta_\delta^{\max})$ , в котором одному  $\eta_\delta$  отвечают три разных значения  $\varepsilon_0$ , т.е. три состояния с различающимися распределениями потенциала. Из рис. 4 следует

$$\eta_\delta^{\min} = \begin{cases} -1/2 & \delta_1 \leq \delta \leq \delta_2 \\ \eta_\delta^E & \delta \geq \delta_2 \end{cases} \quad (\text{рис. 4,в}),$$

$$\eta_\delta^{\max} = \begin{cases} \eta_\delta^B & \delta_1 \leq \delta \leq 2\delta_2 \\ \eta_\delta^B & \delta \geq 2\delta_2 \end{cases} \quad (\text{рис. 4,б,в}),$$

Зависимости  $\eta_\delta^{\min}$  и  $\eta_\delta^{\max}$  от  $\delta$  (кривые 1 и 2 на рис. 7) определяют границы области неоднозначности на плоскости  $\eta_\delta, \delta$ . Заметим, что при  $\eta_\delta = 0$  неоднозначность имеет место для  $2\delta_2 \leq \delta \leq 4/3$ , что совпадает с результатами [1] (рис. 1).

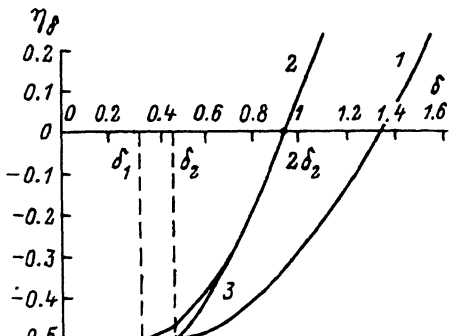


Рис. 7. Области существования нескольких состояний на плоскости  $\eta_\delta, \delta$ .

Можно выделить два типа неоднозначностей. Если  $\delta \geq 2\delta_2$  (рис. 4,а), то  $\eta_\delta$ , лежащим в интервале  $(\eta_\delta^E, \eta_\delta^D)$ , отвечают два состояния без отражения (устойчивое состояние с меньшим  $\varepsilon_0$  и неустойчивое — с большим) и одно устойчивое состояние с отражением электронов — первый тип неоднозначности. При  $\delta_2 < \delta < 2\delta_2$  (рис. 4,б) в интервале  $\eta_\delta \in (\eta_\delta^E, \eta_\delta^D)$  сохраняется первый тип неоднозначности, а в интервале  $\eta_\delta \in (\eta_\delta^D, \eta_\delta^B)$  возникает второй тип неоднозначности: одно устойчивое состояние без отражения и два с отражением электронов (неустойчивое с меньшим  $\varepsilon_0$  и устойчивое — с большим). При  $\delta_1 < \delta \leq \delta_2$  остается только неоднозначность второго типа. На рис. 7 граница между этими типами неоднозначности показана линией 3.

Из проведенного выше рассмотрения видно, что в области неоднозначности существуют два устойчивых решения, т.е. в вакуумном диоде с моноэнергетическим пучком электронов реализуются бинарные состояния. Пороговое значение зазора, при котором возникает это явление, равно  $\delta_1 = 1/3$ .

В общем случае будем называть бинарными состояниями в вакуумном или плазменном диодах такие состояния, когда при одном потенциале коллектора имеются два устойчивых относительно малых электронных возмущений полностью самосогласованных решения. Заметим, что в КДПИ также могут существовать несколько устойчивых электронных состояний [6,9–12]. При развитии неустойчивости Пирса за время порядка времени пробега электронов через зазор диод переходит в одно из этих состояний (распределение ионов за это время не меняется). Однако результирующее состояние не является согласованным с распределением ионов; в дальнейшем за время порядка времени пробега ионов через зазор происходит перераспределение ионов и перестроение потенциала. В отличие от КДПИ в вакуумном диоде, где ионы отсутствуют, найденные решения являются полностью самосогласованными.

Рассмотренное явление неоднозначной зависимости  $\varepsilon_0$  от  $\eta_\delta$  в вакуумном диоде приводит к гистерезису на ВАХ диода. Рассмотрим для примера случай  $\delta_1 \leq \delta \leq \delta_2$  (рис. 4,б и 5,б). Приложим к диоду напряжение и будем увеличивать его со стороны отрицательных значений. Когда  $\eta_\delta$  превысит значение  $-1/2$ , через диод потечет ток, возрастаая с увеличением  $\eta_\delta$ . В точке  $B$  (рис. 5,б) ток скачком изменяется до значения, равного 1 (режим с частичным отражением сменяется режимом без отражения), и при дальнейшем увеличении  $\eta_\delta$  перестает изменяться. При обратном ходе (при уменьшении  $\eta_\delta$ ) ток диода остается равным 1 пока не достигнет точки  $E$ . После этого происходит скачкообразное уменьшение тока: из режима без отражения диод переходит в режим с частичным отражением.

Таким образом, подробная классификация всех возможных распределений потенциала,  $(\eta, \varepsilon)$ -диаграмм и ВАХ в вакуумном диоде с электронным пучком позволила исследовать устойчивость всех решений, определить область, в которой возникает неустойчивость Бурсиана и найти область существования бинарных состояний.

Если в дальнейшем несколько стационарных состояний удастся обнаружить и в плазменных диодах, то это, несомненно, будет иметь важное прикладное значение.

## ПРИЛОЖЕНИЕ

### Построение зависимости $\eta_\delta$ от $\varepsilon_0$ в режиме без отражения

Полагая в (8)  $x = \delta$  и  $r = 0$ , получаем следующее кубическое уравнение для  $\tau_\delta$ :

$$\tau_\delta^3 - 3\varepsilon_0\tau_\delta^2 + 6\tau_\delta - 6\delta = 0. \quad (\text{П.1})$$

Его дискриминант имеет вид

$$D(\delta, \varepsilon_0) = 9\delta^2 + 6\varepsilon_0(\varepsilon_0^2 - 3)\delta - 3\varepsilon_0^2 + 8. \quad (\text{П.2})$$

В зависимости от знака дискриминанта уравнение (П.1) имеет один ( $D > 0$ ) или три ( $D < 0$ ) вещественных корня. Нужный корень выбирается с использованием следующих условий: величина  $\tau_\delta$  должна быть положительна, а зависимость  $x$  от  $\tau$  (формула (8) при  $r = 0$ ) — монотонна на участке  $\tau \in (0, \tau_\delta)$ .

На рис. 8 показаны четыре области на плоскости  $(\varepsilon_0, \delta)$ , которые различаются по числу и характеру корней уравнения (П.1). Здесь сплошные линии 1–4 соответствуют  $D = 0$ , а штриховая линия 5 —  $\varepsilon_0 = 2^{1/2}$  при  $\delta \in (\delta_2, \infty)$ . Приведем сводку формул для нахождения  $\tau_\delta$  с учетом сформулированных выше условий.

1) Область между линиями 1 и 2 на рис. 8 ( $D < 0$ )

$$\tau_\delta = -2|p|^{1/2} \cos\left(\frac{\pi - \varphi}{3}\right) + \varepsilon_0, \quad (\text{П.4})$$

где  $p = 2 - \varepsilon_0^2$ ,  $q = -\varepsilon_0^3 + 3\varepsilon_0 - 3\delta$ ,  $\varphi = \arccos(-q/|p|^{3/2})$ .

2) Область ниже кривой 3 на рис. 8 ( $D < 0$ )

$$\tau_\delta = 2|p|^{1/2} \cos\left(\frac{\varphi}{3}\right) + \varepsilon_0. \quad (\text{П.5})$$

3) Область между линиями 2, 5 и 3 на рис. 8 ( $D > 0$ )

$$\tau_\delta = \left(-q + D^{1/2}\right)^{1/3} + \left(-q - D^{1/2}\right)^{1/3} + \varepsilon_0. \quad (\text{П.6})$$

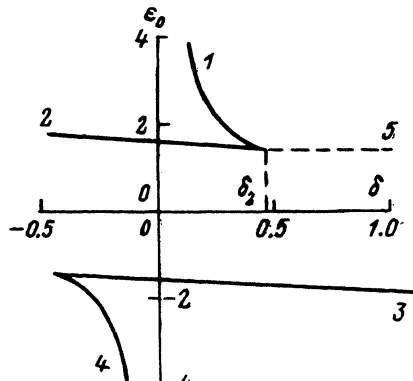


Рис. 8. Области постоянства знака дискриминанта  $D$ .

4) В области выше линий 1 и 5 ( $D > 0$ ) решений не существует.

Определив  $\tau_\delta$ , из уравнений (9), (5) при  $r = 0$  находим  $\eta_\delta$ , т.е. получаем зависимость  $\eta(\delta, \varepsilon_0)$ .

Как отмечалось в разделе 2, в [15] изучались самосогласованные монотонные распределения потенциала в вакуумном диоде с пучком заряженных частиц, движущихся без отражения. Для потенциала  $\eta$  было получено кубическое уравнение, дискриминант которого  $D_1$  связан с  $D$  (формула (П.2)) следующим образом:  $D_1(x, \varepsilon_0) \sim [D(x, \varepsilon_0)]^3 \cdot (x - \varepsilon_0 + \varepsilon_0^3/3)$ . Аналитические зависимости  $\eta(x)$  в [15] были получены только для таких  $\varepsilon_0 \leq 0$ , когда  $D_1 > 0$  при всех  $x > 0$ .

### Список литературы

- [1] Бурсиан В., Павлов В. // Журн. рус. физ.-хим. общества. 1923. Т. 55. Вып. 1–3. С. 71–80.
  - [2] Незлин М.В. Динамика пучков в плазме. М.: Энергоиздат, 1982. 263 с.
  - [3] Добрёцов Л.Н., Гомоюнова М.В. Эмиссионная электроника. М.: Наука, 1966. 564 с.
  - [4] Pierce J.R. // J. Appl. Phys. 1944. Vol. 15. N 10. P. 721–726.
  - [5] Смирнов В.М. ЖЭТФ. 1966. Т. 50. Вып. 4. С. 1005–1012.
  - [6] Кузнецов В.И., Эндер А.Я. // ЖТФ. 1977. Т. 47. Вып. 11. С. 2237–2246.
  - [7] Norris W.T. // J. Appl. Phys. 1964. Vol. 35. N 11. P. 3260–3268.
  - [8] Godfrey B.B. // Phys. Fluids. 1987. Vol. 30. N 5. P. 1553–1560.
  - [9] Кузнецов В.И., Эндер А.Я. // ЖТФ. 1979. Т. 49. Вып. 10. С. 2176–2179.
  - [10] Кузнецов В.И., Эндер А.Я. // ЖТФ. 1981. Т. 51. Вып. 11. С. 2250–2259.
  - [11] Кузнецов В.И., Эндер А.Я. // ЖТФ. 1983. Т. 53. Вып. 12. С. 2329–2338.
  - [12] Кузнецов В.И., Эндер А.Я. Препринт ФТИ АН СССР. № 1061. Л., 1986.
  - [13] Hatopoulos G.N., Gyftopoulos. Thermionic Energy Conversion. Vol. I. Processes and Devices. Vol. II. Theory, Technology and Application. MIT Press (Cambridge, MA and London), 1973, 1979.
  - [14] Motley R.W. Q-machines. New York; San Francisco; London: Academic Press, 1975.
  - [15] Farouki R.T., Dalvie M., Pavarino L.F. // J. Appl. Phys. 1990. Vol. 68. N 12. P. 6106–6116.
-